



## مدلسازی فیزیکی - زیستی تغییرات فصلی جمعیت پلانکتونی

## در جنوب تنگه هرمز

مریم آخوندیان<sup>۱\*</sup>، محمد اکبری نسب<sup>۲</sup><sup>۱</sup>گروه زیست دریا، دانشکده علوم دریایی و اقیانوسی، دانشگاه مازندران<sup>۲</sup>گروه فیزیک دریا، دانشکده علوم دریایی و اقیانوسی، دانشگاه مازندران

## نوع مقاله:

## چکیده

## پژوهشی

## تاریخچه مقاله:

دریافت: ۹۵/۰۳/۰۹

اصلاح: ۹۵/۰۶/۱۴

پذیرش: ۹۵/۰۷/۲۳

## کلمات کلیدی:

تنگه هرمز

فیتوپلانکتون

زئوپلانکتون

مدلسازی

GOTM/NPZD

پلانکتون‌ها، موجودات میکروسکوپی شناوری هستند که به عنوان تولیدکنندگان اولیه و نخستین انتقال دهنده‌گان کربن تثبیت شده به سطوح بالاتر زنجیره‌های غذایی، از اهمیت و جایگاه ویژه‌ای در بوم سامانه‌های آبی برخوردارند و بررسی پراکنش جمعیت آن‌ها در مطالعه این سامانه‌ها بسیار ضروری می‌باشد. محدوده‌ی گسترده‌ای از عوامل فیزیکی از جمله شوری، عناصر غذایی، نور، دما و استرس‌های اسمزی بر نرخ رشد و جمعیت فیتوپلانکتون‌ها اثرگذار است. در این مقاله با استفاده از مدل کوپل یک بعدی فیزیکی - زیستی (GOTM/NPZD) پراکنش فصلی جمعیت‌های پلانکتونی، در تنگه هرمز در سال ۱۹۹۸مدلسازی گردید. نتایج مدلسازی ستون آب در تابستان وجود لایه‌بندی بسیار قوی ترموکلاین و هالوکلاین در ستون آب را نشان داد که تا پایان فصل پاییز پایدار بوده و مانع اختلاط آب گردیده است. خروجی مدل حاکی از وقوع یک دوره شکوفایی فیتوپلانکتونی در فصل بهار می‌باشد و شکوفایی زئوپلانکتون‌ها با تأخیر کوتاهی به دنبال شکوفایی فیتوپلانکتونی رخ داده و اوج شکوفایی جمعیت آن‌ها در اواخر بهار بوده است. در فصل زمستان به دلیل وقوع اختلاط، دما و شوری در ستون آب نسبتاً همگن بوده و تغییرات جمعیتی مشهودی نیز در پراکنش عمودی پلانکتون‌ها دیده نشد.

## مقدمه

بوم سامانه‌های آبی از اجزاء ضروری چرخه‌های کربن بر روی کره زمین هستند و چرخه‌های کربن مستقیماً با میزان تولید اولیه خالص در این بوم سامانه‌ها در ارتباط است (Six and Maier-Reimer, 1996). پلانکتون‌ها که در دو گروه پلانکتون‌های گیاهی (فیتوپلانکتون‌ها) و پلانکتون‌های جانوری (زئوپلانکتون‌ها) دسته‌بندی می‌شوند، از مهم‌ترین اجزاء بوم سامانه‌های آبی به شمار رفته و نقش کلیدی در چرخه‌های بیوژئوشیمیایی دریاها دارند. فیتوپلانکتون‌ها، گیاهان ریز شناوری هستند که مسئولیت بزرگ تثبیت کربن را در فرایند فتوسنتز در محیط‌های آبی به عهده دارند و به عنوان اولین حلقه از زنجیره‌های غذایی در بوم سامانه‌های آبی و نخستین انتقال‌دهندگان کربن تثبیت شده به سطوح بالاتر زنجیره‌های غذایی، از اهمیت و جایگاه ویژه‌ای برخوردارند. زئوپلانکتون‌ها نیز نخستین مصرف‌کنندگان گیاهخوار در زنجیره غذایی هستند که در انتقال انرژی در هرم‌های غذایی نقش بسیار مهمی دارند. از طرفی امروزه نگرانی‌های جهانی در خصوص افزایش احتمال وقوع شکوفایی

\* نویسنده مسئول، پست الکترونیک: [m.akhoundian@umz.ac.ir](mailto:m.akhoundian@umz.ac.ir)

مضر پلانکتون‌ها در آب‌های ساحلی وجود دارد، که نه فقط به دلیل تأثیر این شکوفایی‌ها بر جوامع آبریان، بلکه به سبب اثرات آن‌ها بر جوامع انسانی می‌باشد. لذا برای وضع قوانین مدیریتی مؤثر در حفاظت از منابع آبریان نیاز به درک صحیحی از دینامیک بوم سامانه‌های آبی به صورت عمومی و بالاخص جمعیت پلانکتون‌ها وجود دارد. دینامیک جمعیت پلانکتون‌ها ناشی از دو پدیده‌ی رشد و مرگ و میر آن‌ها است و بدیهی است که پارامترهای فیزیکی-زیستی محیط بر نرخ این دو فرایند تأثیرگذار است (Heinle and Slawig, 2013). فیتوپلانکتون‌ها اغلب در طول حیات خود با دو مشکل فیزیکی عمده در تأمین منابع ضروری مواجه هستند: یکی تأمین نور کافی برای فتوسنتز که از سطح به درون آب نفوذ می‌کند و دیگری تأمین عناصر غذایی ضروری که عمدتاً از بستر به درون ستون آب بالا می‌آید (Klausmeier and Litchman, 2001). در شرایط پایدار، تولیدات فیتوپلانکتون‌ها تحت تأثیر عواملی هم چون مرگ و میر ناشی از چرای زئوپلانکتون‌ها، حملات ویروسی، مرگ سلولی و یا ته‌نشست فیتوپلانکتون‌ها به عمق آب و خروج آن‌ها از محدوده‌ی نفوذ نور قرار می‌گیرد (Huisman *et al.*, 1999). محدوده‌ی گسترده‌ای از عوامل فیزیکی از جمله عناصر غذایی، نور، دما و استرس‌های اسمزی بر نرخ رشد و جمعیت فیتوپلانکتون‌ها اثرگذار است (Heinle and Slawig, 2013). هر عامل فیزیکی که بر دمای آب و همچنین کیفیت و کمیت نفوذ نور در لایه‌های آب مؤثر باشد به عنوان عاملی مؤثر بر دینامیک جمعیت پلانکتون‌ها مطرح است. عواملی چون میزان مواد معلق در آب و شفافیت آب نیز تأثیر مستقیم بر عمق نفوذ نور و کیفیت طول موج‌های نور خورشید در لایه‌های عمقی آب دارد. شواهدی وجود دارد که نشان می‌دهد تلاطم آب سبب تغییر در ساختار پراکنش فیتوپلانکتون‌ها می‌گردد. به عنوان مثال تلاطم می‌تواند با اختلاط آب و افزایش انتشار مواد غذایی در لایه‌های آب سبب افزایش رشد فیتوپلانکتون‌ها گردد (Karp-*et al.*, 1996) و یا با ایجاد کدورت و کاهش عمق نفوذ نور، سبب افزایش نرخ مرگ و میر در جوامع فیتوپلانکتونی شود (Malkiel *et al.*, 1999). در سطوح بالاتر شبکه‌های غذایی، تلاطم می‌تواند نرخ تغذیه‌ی زئوپلانکتون‌ها از فیتوپلانکتون‌ها را افزایش دهد (Rothschild and Osborn, 1988) که این امر ممکن است به دلیل افزایش مواجهه شکار و شکارچی (فیتو پلانکتون‌ها و زئوپلانکتون‌ها) در اثر تلاطم آب، بر توانایی کسب غذا از محیط توسط زئوپلانکتون‌ها اثرگذار باشد (Svendsen, 1997; Kiørboe, 1997). البته مشاهدات میدانی متناقض هستند، بعضی مطالعات احتمال افزایش موفقیت در تغذیه از فیتوپلانکتون‌ها را در آب‌های متلاطم‌تر نشان می‌دهند و بعضی دیگر وجود یک رابطه منفی را نشان می‌دهند (Fennel *et al.*, 2001; Evans and Parslow, 1985). این نتایج نشان می‌دهد که فاکتورهای فیزیکی محیط تا چه حد بر تعاملات اکولوژیکی فیتوپلانکتون‌ها و در نهایت بر میزان تولید در اکوسیستم‌های آبی تأثیرگذار است.

تنگه هرمز آبراه‌ای بسیار حیاتی است که محدوده آبی کم عمق و نیمه بسته‌ی خلیج فارس را به دریای مکران متصل کرده است. شوری و چگالی آب خلیج فارس به دلیل قرار گرفتن در منطقه ی گرم و کم بارش بسیار بالاتر از آب‌های آزاد است (Talley, 2002) و تنگه هرمز محل تبادل آب چگال خلیج فارس و آب کمتر چگال اقیانوس هند می‌باشد که باعث گردش اصلی آب در خلیج فارس می‌شود به دلیل نرخ بسیار بالای تبخیر سطحی در خلیج فارس آب کم شورتر و سبکتر دریای عمان برای جبران میزان آب تبخیر شده از سطح و از ناحیه شمالی تنگه هرمز وارد خلیج فارس می‌شود. هم چنین خروجی آب شور و سنگین شده خلیج فارس از قسمت جنوبی تنگه هرمز به دریای عمان می‌ریزد (Sadrinasab and Kaempf, 2004). این تنگه از حیاتی‌ترین تنگه‌های بین‌المللی است که علاوه بر نقش استراتژیک خود در منطقه، نقشی سیار کلیدی در حفظ حیات و بقای اکوسیستم‌های منطقه دارد و مانند کلیدی برای ورود به بوم سامانه‌ی ویژه‌ی خلیج فارس محسوب می‌شود.

در این مقاله با استفاده از نتایج مدلسازی با مدل کوپل تک بعدی فیزیکی - زیستی که بر پایه مدل عمومی اغتشاش اقیانوسی (GOTM/NPZD) قرار دارد (<http://www.gotm.net>)، پراکنش فصلی جمعیت‌های فیتوپلانکتون و زئوپلانکتون در این بوم سامانه حساس دریایی مدلسازی گردید. یک مدل یک بعدی برای بررسی مهم‌ترین فرآیندهای هیدرودینامیکی و ترمودینامیکی مربوط به اختلاط عمودی در اکوسیستم‌های آبی پلاژیک است. با کمک این مدل می‌توان پارامترهای هیدروفیزیکی و پدیده‌هایی همچون تلاطم را در اعماق آب مدلسازی نمود. این مدل کد باز و تحت زبان فرترن نوشته شده است. علاوه بر این طوری طراحی شده است که آن را به آسانی می‌توان به مدل‌های سه بعدی پیوند داد و یا به صورت کوپل با

مدل های زیستی، برای محاسبه اختلاط عمودی آب از آن استفاده کرد (Fennel *et al.*, 2001). امروزه از این مدل برای انجام تحقیقاتی از قبیل مطالعه چرخه های بیوژئوشیمیایی آب و مدلسازی تلاطم و بررسی تعاملات چرخه های زیست محیطی در اکوسیستم های آبی استفاده می شود.

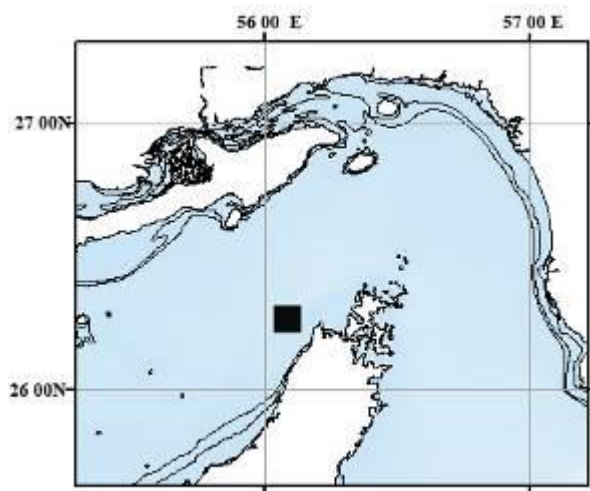
## مواد و روش ها

### منطقه مطالعاتی

مکان مطالعه، منطقه ای با عرض جغرافیایی ۲۶,۲۶,۵۰ درجه شمالی و طول جغرافیایی ۵۶,۰۸,۳۳ درجه شرقی در بخش جنوبی تنگه هرمز می باشد (شکل ۱).

### داده های مورد استفاده برای مدلسازی

داده های فیزیکی منطقه مطالعاتی شامل دما و شوری به صورت اولری از سطح تا عمق ۱۱۰ متری، با گام فاصله ای ۵ متری و گام زمانی نیم ساعته، در دوره ی زمانی پیوسته از دسامبر ۱۹۹۶ تا مارس ۱۹۹۸ توسط دانشگاه میامی توسط دستگاه CTD اندازه گیری شده است و همچنین داده های هواشناسی ایستگاه سینوپتیکی قشم شامل باد، رطوبت، ابرناکی، فشار هوا و دمای هوا با گام زمانی سه ساعته در بازه زمانی ۹۸-۱۹۹۷ به مدت یکسال در دوره مطالعاتی از داده های اندازه گیری شده سایت NOVA جمع آوری شده (جدول ۱) و به عنوان شرایط اولیه و مرزی به مدل اعمال گردید. در این مطالعه، برای راه اندازی مدل GOTM مقدار حداقل انرژی جنبشی تلاطمی  $10^{-6} m^2 s^{-2}$  و زمان واهلش برای جریان توده ای<sup>۱</sup> نیز،  $86400 s$  تعریف گردید. جدول ۲ خلاصه ای از پارامترهای اولیه که به عنوان مقادیر پیش فرض مدل NPZD در راه اندازی این مدل استفاده شده است را نشان می دهد.



شکل ۱. نقشه منطقه مطالعاتی واقع در بخش جنوبی تنگه هرمز. مربع سیاه نشان دهنده محل ثبت دیتاهای مدلسازی شده می باشد.

جدول ۱. داده های مورد نیاز جهت مدلسازی

داده	نوع داده	منبع جمع آوری داده	نحوه استفاده مدل از منابع
اقیانوس شناسی	پروفایل قائم دما و شوری	اندازه گیری شده توسط CTD	همانند سازی مدل
هواشناسی	مولفه های باد، دمای هوا، فشار هوا و رطوبت نسبی	وب سایت های هواشناسی <a href="http://www.esrl.noaa.gov/psd/data/gridded/data.ncep.reanalysis.tropopause.html">www.esrl.noaa.gov/psd/data/gridded/data.ncep.reanalysis.tropopause.html</a>	شرایط بالای مرز، اندازه حرکت و شارش های تلاطمی حرارت و بودجه تابش سطحی

<sup>1</sup> Relaxation time for bulk of the flow

## مدل GOTM/NPZD

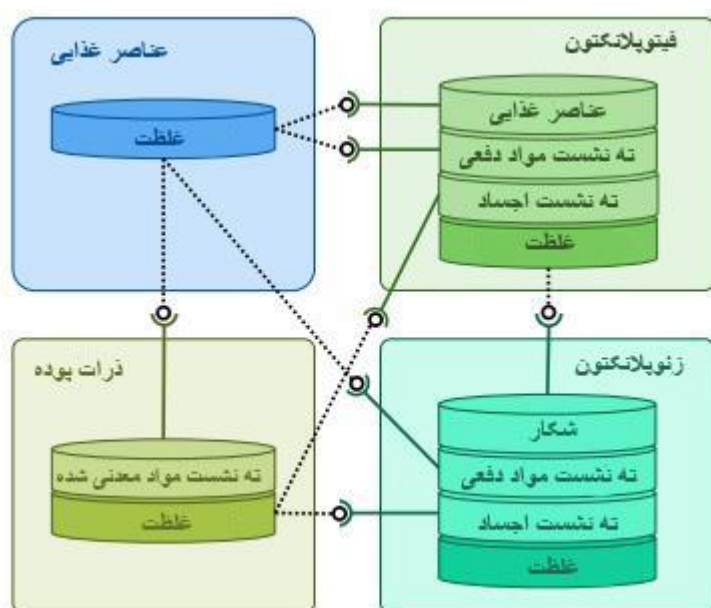
در این پژوهش از مدل کوپل زیست-فیزیکی به نام مدل GOTM/NPZD، به روش طرحواره مرتبه دوم اغتشاشی K-ε<sup>۲</sup> استفاده شده است، که علی‌رغم سادگی، کاربرد بسیار گسترده‌ای در توصیف بوم سامانه‌های پلاژیک در محیط‌های آبی دارد. مدل GOTM مدلی یک بعدی است که با بیشتر مدل‌های اقیانوسی جفت می‌شود. در این مطالعه، شارش اتمسفری در سطح و شرایط مرزی که از طریق معادلات ناویر استوکس به مدل اعمال می‌شود در رابطه‌ی زیر به عنوان ورودی مدل زیستی استفاده می‌گردد:

$$K_v \partial_z c_i |z = \eta = F_i^a, \quad K_v \partial_z c_i |z = -H = -F_i^b$$

مدل NPZD تاکنون توسط محققین متعددی در دنیا جهت مدلسازی فرایندهای فیزیکی، بیوژئوشیمیایی و اکولوژیکی مورد استفاده قرار گرفته است (Ertürk *et al.*, 2008; Fennel *et al.*, 2001; Le Quéré, 2006). این مدل در اصل به وسیله Neumann و Fennel در سال ۱۹۹۶ ارائه شد و آخرین بار به وسیله Burchard و همکاران در سال ۲۰۰۵ اصلاح گردید. مدل NPZD متشکل از ۴ معادله دیفرانسیلی است که تعادل دینامیکی بین متغیرهای: عناصر غذایی معدنی (N)، فیتوپلانکتون (P)، زئوپلانکتون (Z) و ذرات پوده (دیتریت) (D) را در ستون آب تک بعدی، شبیه‌سازی می‌نماید (Fennel *et al.*, 2001). طرح شماتیک پیکربندی این مدل در شکل ۲ نمایش داده شده است.

نرخ رشد فیتوپلانکتون‌ها وابسته به مقدار عناصر غذایی محلول (DIN) و عمق لایه اختلاط (MLD) بوده و بر اساس مقدار نور در دسترس برای فتوسنتز F(I) بر اساس معادله خطی Michaelis-Menten محاسبه می‌گردد (Fennel *et al.*, 2001).

$$g_p(I, DIN) = \mu_p \frac{DIN}{k_N + DIN} \cdot \frac{1}{MLD} \int_0^{MLD} F(I) dz$$



شکل ۲. پیکربندی مدل NPZD ترکیبی براساس مدل‌های مستقل برای عناصر غذایی، فیتوپلانکتون، زئوپلانکتون و ذرات پوده. جعبه‌های تیره رنگ نشان‌دهنده متغیرهایی هستند که وابسته به متغیرهای حالت است. خطوط نقطه چین نشان‌دهنده لینک‌های ارتباطی ساخته شده در زمان اجرای مدل براساس اطلاعات در فایل پیکربندی شده اصلی می‌باشد (Bruggeman and Bolding, 2014).

<sup>۲</sup> K-ε turbulence model with a second-order closure

$\mu_p$  حداکثر نرخ رشد فیتوپلانکتون،  $k_N$  غلظت نیمه اشباع برای جذب عناصر غذایی و  $I$  مقدار تابش نور در دسترس برای فتوسنتز بر اساس عمق می‌باشد. رابطه بین نور و فتوسنتز (منحنی P-I) نیز به صورت زیر می‌باشد (Evans and Parslow, 1985):

$$F(I) = \frac{\alpha \cdot Par \cdot I}{\sqrt{\mu_p^2 + \alpha^2 \cdot Par^2 \cdot I^2}}$$

که  $\alpha$  مقدار شیب آغازین منحنی P-I و  $Par$  ثابت شکست نور در دسترس برای انجام فتوسنتز می‌باشد. نرخ کاهش فیتوپلانکتون‌ها در محیط، مستقیماً تابعی از عواملی چون میزان چرای زئوپلانکتون‌ها ( $g_z$ ) و هدررفت متابولیسمی ناشی از میزان تنفس ( $\lambda_{PN}$ ) و نرخ مرگ و میر ( $\lambda_{PD}$ ) می‌باشد.

میزان چرای زئوپلانکتون‌ها از فیتوپلانکتون‌ها بر اساس معادله خطی Michaelis-Menten به صورت زیر نمایش داده می‌شود:

$$g_z = \mu_z \frac{Phy^2}{k_p + Phy^2}$$

در این رابطه  $\mu_z$  حداکثر نرخ چرای زئوپلانکتون و  $k_p$  غلظت نیمه اشباع مصرف فیتوپلانکتون است. نرخ ثابت  $\lambda_{ZN}$  برای تهنشست زئوپلانکتون‌ها به لایه‌های پایین‌تر در نظر گرفته می‌شود، در حالیکه مرگ و میر زئوپلانکتون‌ها که تعیین کننده توده سریا<sup>۳</sup>ی آن‌ها می‌باشد نیز با توان دوم  $\lambda_{ZD} zoo$  نمایش داده می‌شود. از طرفی، ذرات پوده‌ای با نرخ ثابت  $\lambda_{DN}$  در لایه‌ی اختلاط معدنی شده و با سرعت ثابت  $w_D$  تهنشست کرده و از لایه اختلاط خارج می‌شوند. عناصر غذایی معدنی محلول، فیتوپلانکتون‌ها و ذرات پوده، با نرخ ثابت  $m$  در سطح زیرین لایه‌ی اختلاط با هم مخلوط شده و با افزایش عمق ( $h^+$ ) در لایه اختلاط، غلظت آن‌ها نیز رقیق‌تر می‌گردد.

جدول ۲. مقادیر نمونه‌ای اولیه پارامترهای مدل (Fennel et al., 2001)

مقدار اولیه	واحد	نشانه	پارامتر
۱/۰	$day^{-1}$	$\mu_p$	حداکثر نرخ رشد فیتوپلانکتونی
۰/۲۵	$Mmol N m^{-3}$	$k_N$	مقدار غلظت نیمه اشباع برای رشد فیتوپلانکتون
۰/۰۵	$day^{-1}$	$\lambda_{PD}$	نرخ مرگ و میر فیتوپلانکتون
۰/۰۵	$day^{-1}$	$\lambda_{PN}$	نرخ تنفس فیتوپلانکتون
۲/۰	$day^{-1}$	$\mu_z$	حداکثر نرخ رشد زئوپلانکتون
۰/۵	$(mmol N)^2 m^{-6}$	$k_p$	مقدار غلظت نیمه اشباع برای رشد زئوپلانکتون
۰/۰۵	$(mmol N m^{-3})^{-1} day^{-1}$	$\lambda_{ZD}$	نرخ مرگ و میر زئوپلانکتون
۰/۰۵	$day^{-1}$	$\lambda_{ZN}$	نرخ تهنشست زئوپلانکتون‌ها به لایه‌های پایین‌تر
۰/۰۵	$day^{-1}$	$\lambda_{DN}$	نرخ معدنی شدن
۰/۰۲۵	$(Wm^{-2})^{-1} day^{-1}$	$\alpha$	شیب آغازین منحنی PI (نور-فتوسنتز)
۰/۴۳	-	par	ضریب ثابت شکست نور در دسترس برای انجام فتوسنتز
۱/۰	$m day^{-1}$	$w_D$	نرخ تهنشست ذرات پوده
۰/۲۵	$m day^{-1}$	$m$	اختلاط عرضی لایه دماشیب
۰/۰۱۶	$mmol N m^{-4}$	$N_{slope}$	شیب غلظت نیترات زیر لایه دماشیب

<sup>3</sup> Standing crop

با این تعاریف معادلات اصلی مدل به شکل زیر بیان می‌شوند (Fennel *et al.*, 2001):

$$\frac{dPhy}{dt} = g_p Phy - g_z Zoo - \lambda_{pN} Phy - \lambda_{pD} Phy - \frac{m+h^+(t)}{MLD} Phy$$

$$\frac{dZoo}{dt} = g_z Zoo - \lambda_{zN} Zoo - \lambda_{zD} Zoo^2 - \frac{h(t)}{MLD} Zoo$$

$$\frac{dDIN}{dt} = -g_p Phy + \lambda_{pN} Phy + \lambda_{zN} Zoo + \lambda_{DN} Det + \frac{m+h^+(t)}{MLD} (N_{slope} MLD - DIN)$$

$$\frac{dDET}{dt} = \lambda_{pD} Phy + \lambda_{zD} Zoo^2 - \lambda_{DN} Det - \frac{m+h^+(t)+Wb}{MLD} Det$$

در این مدل فرض بر این است که زئوپلانکتون‌ها موقعیت خود را در لایه اختلاط حفظ کرده و بنابراین تراکم آن‌ها با افزایش عمق در لایه اختلاط و رقیق‌تر شدن محیط کاهش یافته و با کاهش عمق در لایه اختلاط افزایش می‌یابد. پراکنش عناصر غذایی با افزایش عمق در لایه اختلاط از الگوی تغییرات فصلی مشخصی پیروی می‌کند و غلظت آن در زیر لایه اختلاط با ضریب خطی  $N_{slope}$  افزایش می‌یابد (Hurtt and Armstrong, 1996).

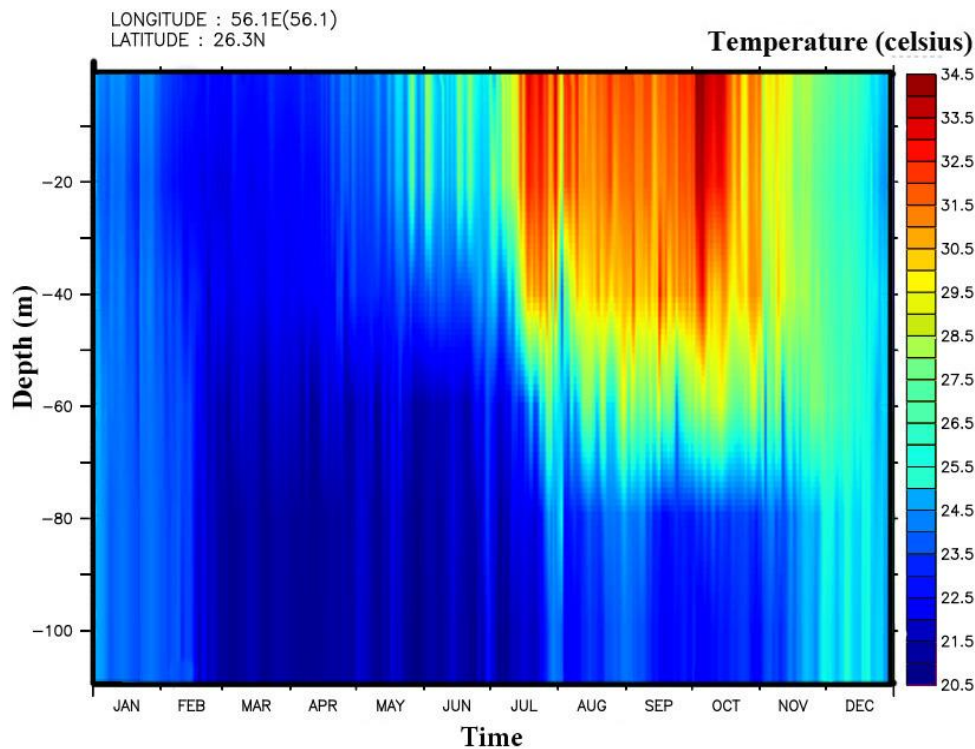
### صحت سنجی مدل

در این تحقیق، برای مدلسازی، محیط ۱۰۰ لایه و گام زمانی ۱۲۰ ثانیه در نظر گرفته شد. این مدل براساس تعداد لایه‌ها و گام زمانی، ضرایب ثابتی جهت حل معادلات به روش حل بستار تلامبی مرتبه دوم تعیین می‌نماید، به گونه‌ای که مدل ناپایدار نگردد (Burchard, 2002). پس از اجرای مدل، خروجی دما و شوری مدلسازی شده، با دما و شوری اندازه‌گیری شده در محیط مورد مقایسه قرار گرفت و نتایج اندازه‌گیری محیطی با خروجی مدل به صورت قابل قبولی مطابقت داشتند. نتایج خروجی حاصل از داده‌های اندازه‌گیری شده میدانی دما در شکل ۳ و شوری در شکل ۵ نشان داده شده است و نتایج خروجی مدل برای پارامترهای مذکور به ترتیب در شکل‌های ۴ و ۶ نمایش داده شده است. در ضمن تمام خروجی‌های مدل توسط نرم افزار Ferret تحت لینوکس رسم شده است.

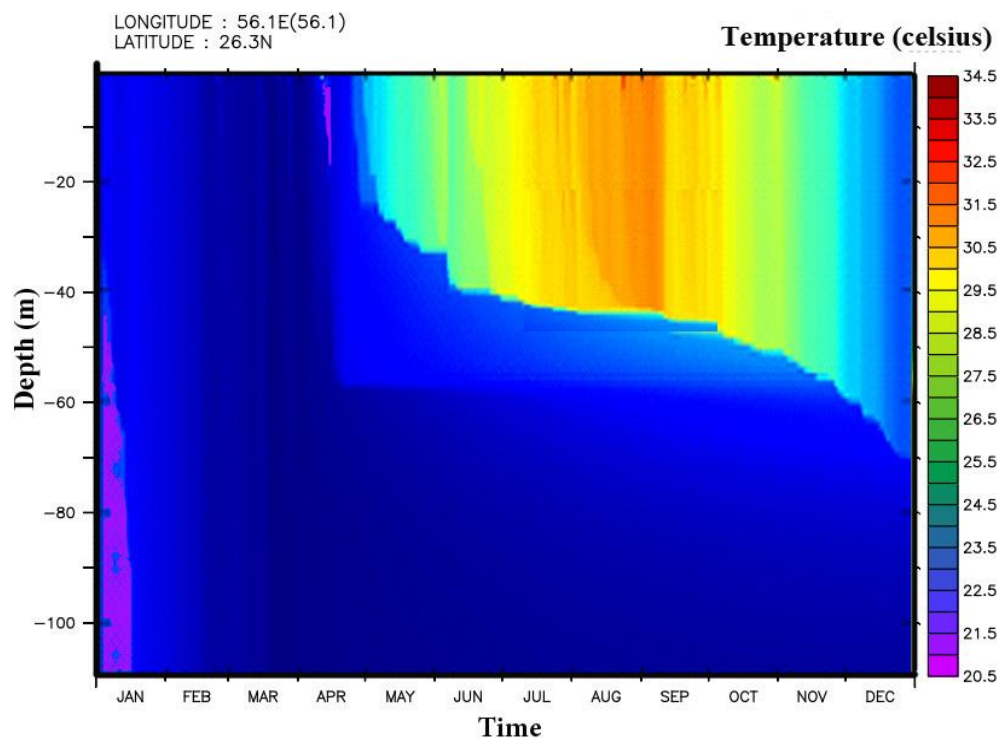
### بررسی نتایج خروجی مدل

#### نیمرخ‌های عمودی دما

تغییرات دمای ستون آب در طول دوره مطالعاتی یک ساله در شکل ۳ نشان داده شده است. همانطوری که نیمرخ عمودی دما نشان می‌دهد، در زمستان، از دی ماه (ژانویه) تا اواخر اردیبهشت ماه (می)، تغییرات دمایی چندانی محسوس نمی‌شود. در زمستان، دمای آب از سطح تا بستر، در محدوده‌ی ۲۰ تا ۲۵ درجه سانتیگراد و تقریباً یکنواخت می‌باشد (شکل‌های ۳ و ۴). از اردیبهشت ماه (می)، تا اواسط تیر ماه (جولای) تا عمق ۴۰ متر، افزایش دما دیده می‌شود، که ناشی از دریافت بیشتر انرژی گرمایی تابشی خورشید و افزایش دمای آب سطحی است. دمای آب در لایه سطحی در فصل بهار به ۲۷ تا ۲۹ درجه‌ی سانتی‌گراد می‌رسد. با آغاز فصل تابستان و افزایش دمای هوای بالای آب، تغییرات قابل ملاحظه‌ای در دمای ستون عمودی آب، مشاهده می‌شود که این تغییرات از تیر ماه (جولای) تا اوایل آبان ماه (نوامبر) به وضوح قابل مشاهده است. در طول این دوره، دمای آب از سطح تا عمق ۴۰ متر، بین ۳۱٫۵ تا ۳۴ درجه سانتیگراد در نوسان می‌باشد. لایه‌ی دماشیب (ترموکلاین) که از اردیبهشت ماه (می) به تدریج شکل گرفته است، در اواسط تیرماه (جولای) به عمق ۶۰ متری جابجا می‌شود، که تشکیل دماشیب فصلی را در این عمق تأیید می‌نماید. لایه‌ی اختلاط نیز از سطح تا بالای لایه‌ی دماشیب گسترش می‌یابد. از آبان ماه (نوامبر) تا آذر ماه (دسامبر)، همراه با کاهش دمای هوا، از دمای ستون آب نیز کاسته می‌شود و دمای ستون آب تا عمق ۶۰ متری حدود ۲ درجه کاهش یافته و بین ۲۶ تا ۲۸ درجه‌ی سانتیگراد می‌گردد. در عمق بیشتر از ۶۰ متری، روند کاهش دما ادامه داشته و تا بستر گسترش می‌یابد.



شکل ۳. نیمرخ دمای مشاهداتی ستون آب بر اساس داده های اندازه گیری شده میدانی (تنگه هرمز-۱۹۹۷)

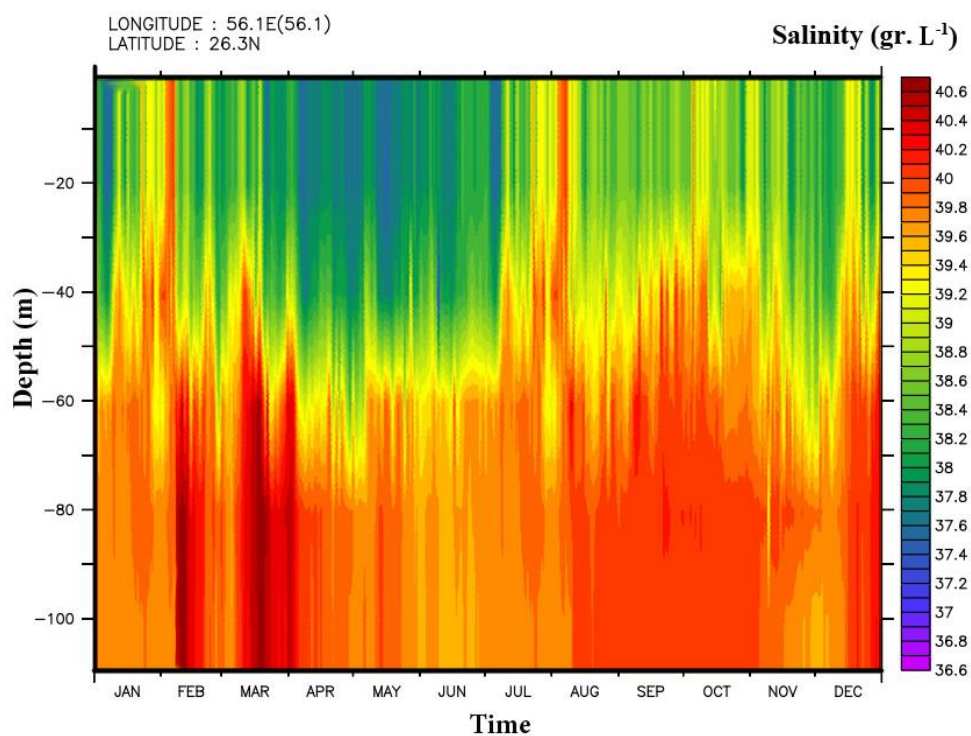


شکل ۴. مدلسازی نیمرخ دمای ستون آب (تنگه هرمز-۱۹۹۷)

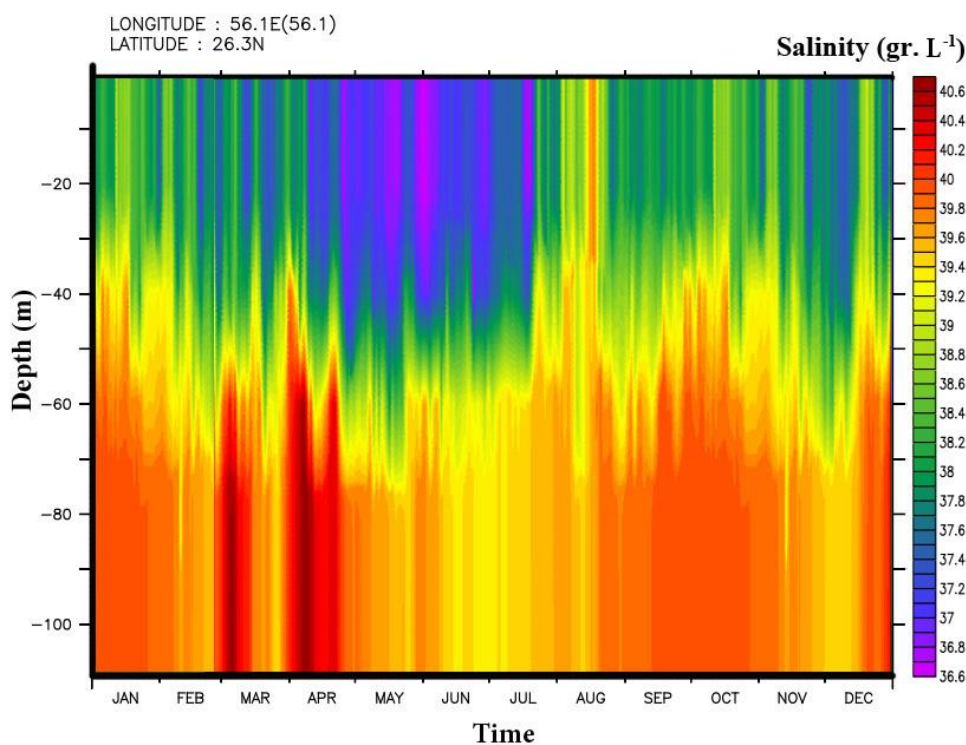
### نیمرخ های عمودی شوری

در بررسی نیمرخ عمودی شوری در طول دوره مطالعاتی یک ساله که در شکل ۵ و ۶ نشان داده شده است، این واقعیت مشهود است که توده آب با شوری بیشتر، به دلیل افزایش چگالی به عمق های پایین تر نشست می کند. نتایج نشان می دهد در

زمستان میزان شوری از سطح تا عمق ۵۰ متر بین ۳۷/۵ تا ۳۹ گرم بر کیلوگرم در نوسان می‌باشد و در اعماق بیشتر از ۵۰ متر، میزان شوری به ۳۹ تا ۴۰/۵ گرم بر لیتر می‌رسد.



شکل ۵. نیم‌رخ شوری مشاهداتی آب بر اساس داده‌های اندازه‌گیری شده میدانی (تنگه هرمز-۱۹۹۷)



شکل ۶. مدلسازی نیم‌رخ شوری آب (تنگه هرمز-۱۹۹۷)

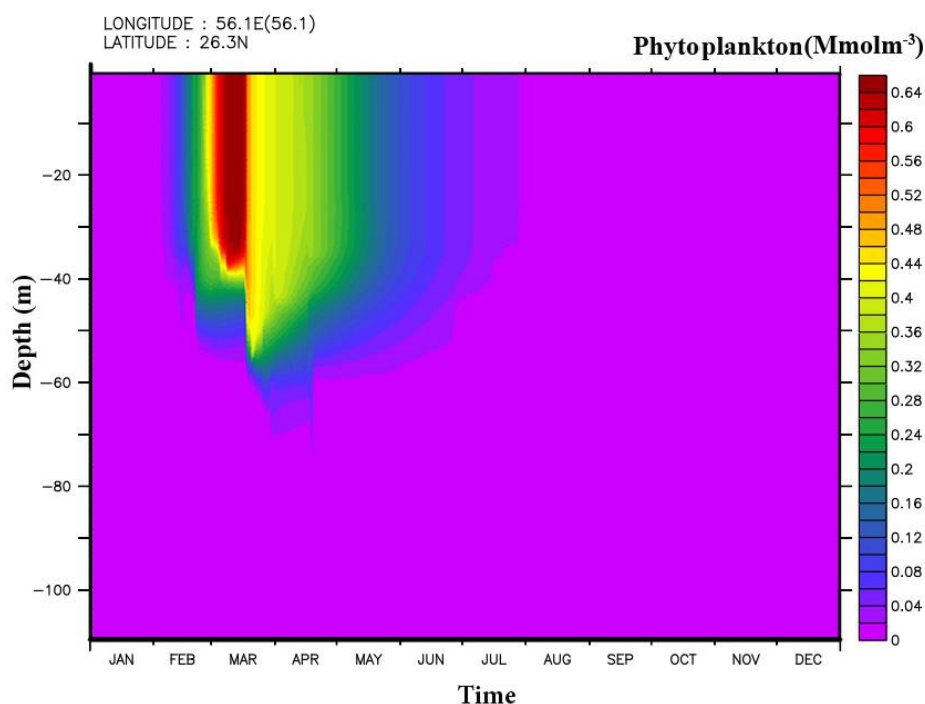
از فروردین ماه (اپریل) تا تیر ماه (جولای)، شوری از سطح تا عمق ۶۰ متر با مقادیری بین ۳۶ تا ۳۷/۵ گرم بر کیلوگرم مشاهده می‌شود و در اعماق پایین‌تر، میزان شوری افزایش پیدا کرده و به ۳۷/۵ تا ۳۹ گرم بر لیتر می‌رسد. نیم‌رخ عمودی شوری در منطقه حاکی از وجود لایه شوری شیب از فروردین ماه (اپریل) تا تیرماه (جولای) می‌باشد که مانع از اختلاط آب لایه‌های سطحی و عمقی شده و سبب ایجاد اختلاف شوری در آب‌های سطحی و عمقی (بیش از ۶۰ متر) می‌گردد (شکل ۶). در تیر ماه، لایه شوری شیب تقریباً از بین می‌رود و شوری از سطح تا عمق با میانگین ۳۷/۵ تا ۴۰ گرم بر لیتر به صورت نسبتاً یکنواخت توزیع می‌گردد. اگرچه در اعماق بیشتر از ۶۰ متر شوری افزایش می‌یابد، اما اختلاف شوری لایه‌های سطحی با عمقی در حدی نیست که وجود لایه شوری شیب (هالوکلاین) را در این زمان تأیید نماید.

### نیم‌رخ عمودی تراکم فیتوپلانکتون‌ها

شکل ۷ مدلسازی نیم‌رخ عمودی تراکم فیتوپلانکتون‌ها را در منطقه مطالعاتی نشان می‌دهد. در اواخر زمستان شکوفایی جمعیت فیتوپلانکتونی در منطقه یوفوتیک (۳۵- متر) دیده می‌شود که اوج این شکوفایی در اواخر بهمن (فوریه) و اسفند (مارس) می‌باشد و زبانه‌ی آن تا اعماق ۶۰ متری آب گسترش یافته است. تراکم فیتوپلانکتون‌ها در این بخش از ستون آب به ۰/۶۴-۰/۵۲ میلی مول بر مترمکعب افزایش یافته و بیشترین تراکم در ستون آب تا عمق ۴۰-۳۵ متری دیده می‌شود. این در حالی است که تراکم فیتوپلانکتون‌ها با آغاز فصل بهار رو به کاهش نهاده و در پایان اردیبهشت ماه (می) مقدار آن به ۰/۲ میلی مول بر متر مکعب می‌رسد. این کاهش ادامه یافته و در تیرماه (جولای) تراکم فیتوپلانکتون‌ها به کمترین میزان خود (۰/۰۴ میلی مول بر مترمکعب) می‌رسد. بر اساس نتایج مدلسازی، از پایان فصل تابستان تا اواسط فصل زمستان (فوریه) تراکم فیتوپلانکتون‌ها در آب به صفر می‌رسد.

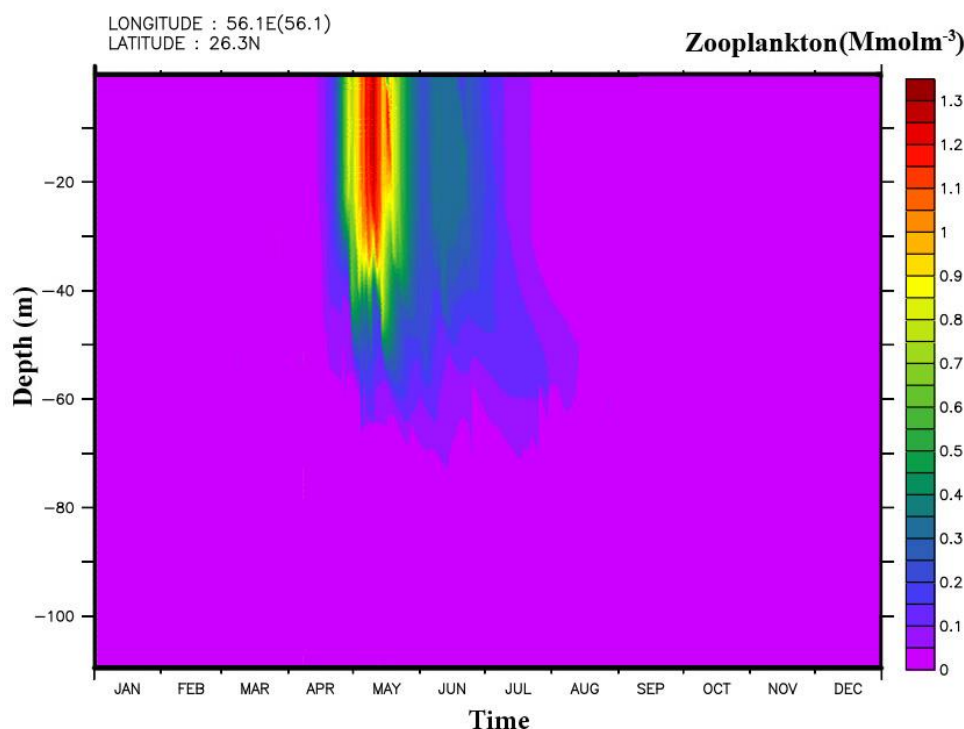
### نیم‌رخ عمودی تراکم زئوپلانکتون‌ها

همانگونه که در خروجی مدلسازی شده نیم‌رخ عمودی تراکم زئوپلانکتون‌ها در شکل ۸ مشاهده می‌گردد، در اردیبهشت ماه (می) اوج شکوفایی زئوپلانکتونی از سطح تا عمق ۴۰ متر دیده می‌شود که دامنه این شکوفایی تا عمق ۶۰ متری ستون آب نیز



شکل ۷. مدلسازی نیم‌رخ عمودی تراکم فیتوپلانکتون‌ها در آب (تنگه هرمز-۱۹۹۷)

نفوذ کرده است. زئوپلانکتونها در اردیبهشت ماه (می) در حداکثر تراکم (۱/۳-۱/۱ میلی مول بر مترمکعب) ظاهر شده و تراکم آن‌ها به تدریج تا پایان خرداد ماه (ژوئن) به ۰/۸-۰/۶ میلی مول بر مترمکعب کاهش می‌یابد. این شکوفایی در تیرماه (جولای) نیز با روندی کاهشی (۰/۴ تا ۰/۲ میلی مول بر مترمکعب) ادامه دارد. در پایان تابستان (آگوست) پراکنش زئوپلانکتون‌ها به طور محسوسی کاهش می‌یابد و بر اساس خروجی مدل، در زمستان تراکم آن‌ها تقریباً به صفر می‌رسد (شکل ۸).



شکل ۷. مدلسازی عمودی تراکم زئوپلانکتون‌ها در آب (تنگه هرمز-۱۹۹۷)

## بحث

بررسی نیم‌رخ تغییرات دمایی ستون آب در منطقه نشان می‌دهد که در فصل زمستان دمای ستون آب نسبتاً همگن بوده، که این امر نشانه‌ی وقوع اختلاط در ستون آب می‌باشد. زیرا امواج و جریانات ناشی از باد به همراه جریان‌های کشندی در خلیج فارس باعث می‌شوند که آب‌های کم عمق خلیج فارس در زمستان مخلوط و یکنواخت گردد (Pakhirehzan and Rahbani, 2014). از سوی دیگر، کاهش نسبی دمای هوا در زمستان، منجر به سرد شدن آب‌های سطحی و در نتیجه افزایش چگالی آن‌ها می‌گردد. آب‌های سرد و سنگین تر به قسمت‌های عمقی نشست کرده و این امر نیز سبب اختلاط ستون آب می‌گردد. اثر اختلاط آب در نیم‌رخ‌های عمودی شوری در این مطالعه نیز تأیید شده است. نیم‌رخ‌های عمودی پراکنش فیتوپلانکتون‌ها و زئوپلانکتون‌ها نیز در فصل زمستان تغییرات جمعیتی مشهودی را نشان نمی‌دهد؛ که این امر با توجه به پایین بودن نسبی دمای هوا در این فصل و کم بودن عناصر غذایی معدنی که برای رشد فیتوپلانکتون‌ها ضروری هستند دور از انتظار نیست. اگرچه اختلاط در ستون آب (از ژانویه تا اپریل) می‌تواند یکی از عوامل رشد و شکوفایی پلانکتون‌ها در این زمان باشد، اما پایین بودن دمای آب و نیز کمبود ناشی از اختلاط آب که مانع نفوذ نور کافی برای فتوسنتز به درون ستون آب می‌گردد، نیز اثر منفی بر رشد و شکوفایی پلانکتون‌ها دارد و همانطور که در خروجی مدل پراکنش فیتوپلانکتون‌ها مشاهده می‌گردد در این زمان شکوفایی وجود ندارد. نتایج مشابهی از مطالعات انجام شده توسط Bruggeman و Bolding (۲۰۱۴) و Fennel و همکاران (۲۰۰۱)، در آب‌های سایر مناطق با استفاده از این مدل به‌دست آمده است. در تحقیقات این دو محقق نیز تنها یک دوره شکوفایی جمعیت پلانکتونی در طول سال تشخیص داده شده که در فصل بهار رخ داده است. به علت این که فصل گرم

در منطقه مطالعاتی نسبتاً طولانی بوده و در بخش اعظمی از سال، لایه‌بندی دما و شوری (دماشیب و شوری شیب) در ستون آب وجود دارد که مانع اختلاط آب‌های سطحی و عمقی می‌گردد.

بیشترین تغییرات در دینامیک جمعیت پلانکتون‌ها از اواسط بهار مشاهده می‌گردد. نیم‌رخ عمودی دما نشان می‌دهد که دمای آب‌های سطحی از اردیبهشت ماه (می) به سرعت شروع به افزایش کرده و در اواسط تابستان به حداکثر مقدار خود (۳۳ درجه سانتیگراد) می‌رسد.

تشکیل لایه دمشیب در عمق حدود ۶۰ متری در منطقه مطالعاتی مانع اختلاط آب‌های سطحی و عمقی گردیده است که این امر سبب به دام افتادن عناصر غذایی معدنی در دو طرف این لایه شده و نیز مانع بالا آمدن عناصر مغذی از بستر به لایه‌های سطحی آب جهت مصرف فیتوپلانکتون‌ها می‌گردد. تشکیل لایه دمشیب و شوری‌شیب در منطقه مطالعاتی در پژوهش‌های محققین پیش‌تر نیز تأیید شده و به ثبت رسیده است (Wiggert *et al.*, 2000; Swift and Bower, 2003). از اواخر تیر ماه (جولای) شکسته شدن لایه شوری‌شیب دیده می‌شود که این امر ناشی از گرم شدن هوا و افزایش شدید تبخیر در آب‌های سطحی می‌باشد که این نرخ بالای تبخیر در منطقه مطالعاتی، در پژوهش‌های محققین پیشین اثبات گردیده است (Sadrihasab, 1389).

در ماه مارس شکوفایی فیتوپلانکتونی ناشی از گرم شدن نسبی آب‌های سطحی و نیز وجود عناصر غذایی در محیط رخ می‌دهد که طی آن، جمعیت فیتوپلانکتون‌ها با نرخ رشد بسیار سریعی افزایش یافته و در مدت کوتاهی نیز این شکوفایی جمعیت فیتوپلانکتونی به پایان می‌رسد. طول دوره شکوفایی فیتوپلانکتونی در منطقه مطالعاتی از اوایل اسفند ماه (فوریه) تا خردادماه (ژوئن) بوده و این شکوفایی تقریباً تا عمق تشکیل لایه دمشیب گسترش می‌یابد. اما به دلیل وجود این لایه‌ی جداکننده و عدم اختلاط آب‌های سطحی و عمقی، عناصر غذایی معدنی موجود در لایه‌های سطحی به مصرف فیتوپلانکتون‌ها رسیده و به سرعت پایان می‌یابد و لذا شکوفایی فیتوپلانکتون‌ها به دلیل محدودیت در منابع غذایی خاموش می‌گردد (Howarth and Marino, 2006). از دیگر عوامل کاهش سریع جمعیت فیتوپلانکتون‌ها پس از دوره شکوفایی آن‌ها، می‌تواند افزایش دمای آب‌های سطحی در اواخر خرداد ماه (ژوئن) به میزانی بیش از حد آستانه تحمل برای فیتوپلانکتون‌ها (تا ۳۵ درجه سانتیگراد) و اثر بازدارندگی دمای زیاد بر فتوسنتز (Litchman, 2000) باشد. نیم‌رخ عمودی پراکنش زئوپلانکتون‌ها نیز نشان می‌دهد که جمعیت زئوپلانکتون‌ها با تأخیر کوتاهی به دنبال شکوفایی فیتوپلانکتونی افزایش یافته است و این شکوفایی نیز بسیار کوتاه بوده و تقریباً هم‌زمان با کاهش جمعیت فیتوپلانکتون‌ها خاموش می‌گردد که این امر ناشی از کاهش جمعیت فیتوپلانکتون‌ها به عنوان منابع غذایی برای زئوپلانکتون‌ها می‌باشد. هم‌چنین، افزایش جمعیت زئوپلانکتون‌ها و چرای بیش از حد آنها بر روی فیتوپلانکتون‌ها سبب کاهش شدید و سریع جمعیت فیتوپلانکتونی در این زمان شده است.

به دلیل اینکه اندازه‌گیری‌های میدانی پارامترهای اکولوژیکی بسیار وقت‌گیر و پرهزینه است، امروزه کاربرد مدل‌های عددی در پیش‌بینی بسیاری از پارامترهای هیدروفیزیکی و زیستی رایج شده است. اگرچه می‌دانیم عوامل فیزیکی و فرایندهای بیوژئوشیمیایی به شدت بر جمعیت پلانکتون‌ها و میزان تولید در دریاها تأثیرگذار هستند؛ اما مدلسازی فرایندهای اکولوژیکی، بحث بسیار نو و خلاقانه‌ای است که هنوز در ابتدای راه قرار دارد. از آنجاکه فرایندهای اکولوژیکی بسیار پیچیده بوده و اثرات تداخلی متعددی بر روی یکدیگر دارند؛ لذا برای مدلسازی این فرایندها نیاز به جمع‌آوری داده‌های محیطی بسیار زیادی وجود دارد. نتایج تحقیق حاضر در مقایسه با نتایج خروجی مدل‌هایی که تاکنون برای مدلسازی هم‌زمان فرایندهای فیزیکی، بیوژئوشیمیایی و اکولوژیکی مورد آزمایش قرار گرفته‌اند (Ward, 2009; Sonntag, 2013) و مقایسه خروجی این مدل‌ها با داده‌های جمع‌آوری شده محیطی نشان می‌دهد، که این خروجی‌ها می‌تواند تا حد قابل اطمینانی پیش‌بینی دینامیک جمعیت پلانکتون‌ها در اکوسیستم‌های آبی را امکان‌پذیر سازد.

## منابع

- Bruggeman, J., Bolding, K. 2014. A general framework for aquatic biogeochemical models. *Environmental Modelling & Software*. 61: 249-265.
- Burchard, H. 2002. Applied turbulence modelling in marine waters. Springer Science & Business Media. pp. 117-127.
- Burchard, H., Deleersnijder, E., Meister, A. 2005. Application of modified Patankar schemes to stiff biogeochemical models for the water column. *Ocean Dynamics*. 55(3-4): 326-337.
- Ertürk, A., Razinkovas, A., Zemlys, P., Pilkaityte, R., Gasiunaite, Z. 2008. Linking NPZD and foodweb models of an estuarine lagoon ecosystem. Paper presented at the US/EU-Baltic International Symposium, 2008 IEEE/OES.
- Evans, G.T., Parslow, J.S. 1985. A model of annual plankton cycles. *Biological oceanography*. 3(3): 327-347.
- Fennel, K., Losch, M., Schröter, J., Wenzel, M. 2001. Testing a marine ecosystem model: sensitivity analysis and parameter optimization. *Journal of Marine Systems*. 28(1): 45-63.
- Fennel, W., Neumann, T. 1996. The mesoscale variability of nutrients and plankton as seen in a coupled model. *Deutsche Hydrografische Zeitschrift*. 48(1): 49-71.
- Heinle, A., Slawig, T. 2013. Internal dynamics of NPZD type ecosystem models. *Ecological modelling*. 254: 33-42.
- Howarth, R.W., Marino, R. 2006. Nitrogen as the limiting nutrient for eutrophication in coastal marine ecosystems: evolving views over three decades. *Limnology and Oceanography*. 51(1part2): 364-376.
- Huisman, J., van Oostveen, P., Weissing, F.J. 1999. Critical depth and critical turbulence: two different mechanisms for the development of phytoplankton blooms. *Limnology and Oceanography*. 44(7): 1781-1787.
- Hurtt, G.C., Armstrong, R.A. 1996. A pelagic ecosystem model calibrated with BATS data. *Deep Sea Research Part II: Topical Studies in Oceanography*. 43(2):653-683.
- Karp-Boss, L., Boss, E., Jumars, P. 1996. Nutrient fluxes to planktonic osmotrophs in the presence of fluid motion. *Oceanography and Marine Biology*. 34: 71-108.
- Kjørboe, T. 1997. Small-scale turbulence, marine snow formation, and planktivorous feeding. *Scientia Marina*. 61(1): 141-158.
- Klausmeier, C.A., Litchman, E. 2001. Algal games: The vertical distribution of phytoplankton in poorly mixed water columns. *Limnology and Oceanography*. 46(8): 1998-2007.
- Le Quéré, C. 2006. Reply to horizons article 'Plankton functional type modelling: running before we can walk' Anderson (2005): I. Abrupt changes in marine ecosystems? *Journal of Plankton Research*. 28(9): 871-872.
- Litchman, E. 2000. Growth rates of phytoplankton under fluctuating light. *Freshwater Biology*. 44(2): 223-235.
- Malkiel, E., Alquaddoomi, O., Katz, J. 1999. Measurements of plankton distribution in the ocean using submersible holography. *Measurement Science and Technology*. 10(12): 1142.
- Pakhirehzan, M., Rahbani, M. 2014. Short term monitoring the Northwest Coasts of Gulf of Oman using both satellite images and numerical model. In 2014 IEEE/OES Baltic International Symposium (BALTIC). 1-8 IEEE.
- Rothschild, B., Osborn, T. 1988. Small-scale turbulence and plankton contact rates. *Journal of Plankton Research*. 10(3): 465-474.
- Sadrinasab, M. 1389. Three-dimensional modeling of water flow in the Strait of Hormuz. *Journal of Oceanography*. 1(1): 19-24. (in Persian)
- Sadrinasab, M., Kämpf, J. 2004. Three-dimensional flushing times of the Persian Gulf. *Geophysical Research Letters*. 31(24): L24301.
- Six, K.D., Maier-Reimer, E. 1996. Effects of plankton dynamics on seasonal carbon fluxes in an ocean general circulation model. *Global Biogeochemical Cycles*. 10(4): 559-583.
- Sonntag, S. 2013. Modeling biological-physical feedback mechanisms in marine systems. PhD dissertation of Universität Hamburg Hamburg. 171 p.

- Svendsen, H. 1997. Physical oceanography and marine ecosystems: some illustrative examples. *Scientia Marina*. 61(1): 93-108.
- Swift, S.A., Bower, A.S. 2003. Formation and circulation of dense water in the Persian/Arabian Gulf. *Journal of Geophysical Research: Oceans*. 108 (C1).
- Talley, L.D. 2002. Salinity patterns in the ocean. *The earth system: physical and chemical dimensions of global environmental change*. 1: 629-640.
- Ward, B.A. 2009. Marine ecosystem model analysis using data assimilation. PhD thesis. Science & mathematics school of ocean & earth science. University of Southampton. 204 p.
- Wiggert, J., Jones, B., Dickey, T., Brink, K., Weller, R., Marra, J., Codispoti, L. 2000. The Northeast Monsoon's impact on mixing, phytoplankton biomass and nutrient cycling in the Arabian Sea. *Deep Sea Research Part II: Topical Studies in Oceanography*. 47(7): 1353-1385.